

1-1 实验一 连续时间系统的时域分析——卷积计算

一、实验步骤：

1. 选择输入激励 $x(t)$ 的形式

本实验中给出了四种激励形式，有单位冲激信号 $\delta(at-b)$ 、阶跃信号 $u(at-b)$ 、三角信号 $\text{Triangle}(\text{center}, \text{width})$ 和门函数 $\text{Gate}(\text{center}, \text{width})$ 。

2. 给出输入激励 $x(t)$ 的波形参数

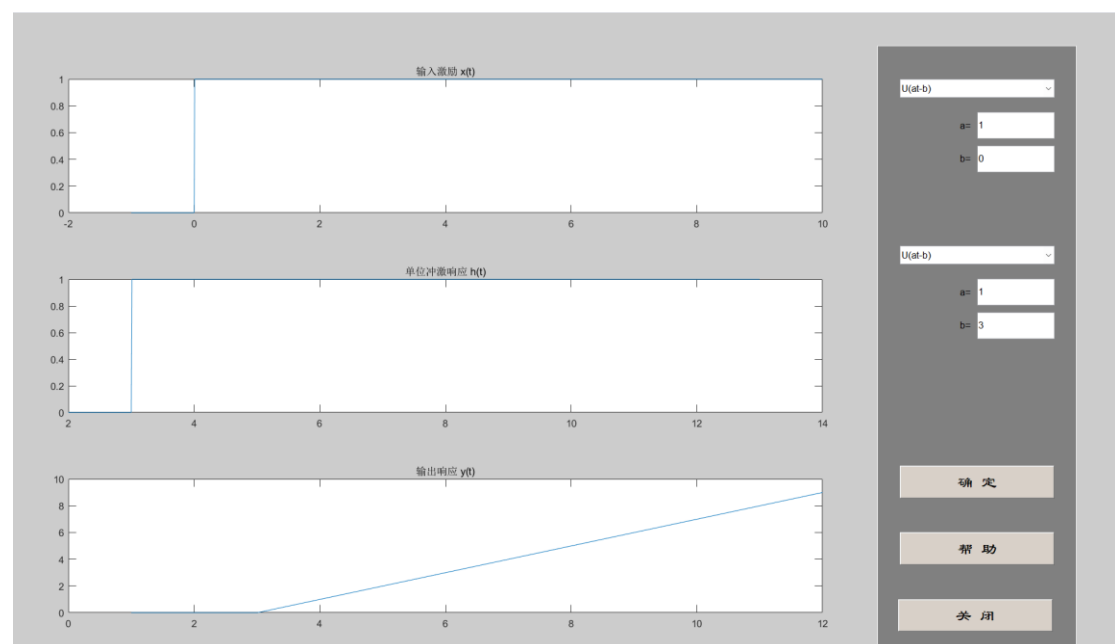
其中三角信号和门函数的波形参数 center 控制波形中心位置，波形参数 width 控制波形宽度。

3. 选择单位冲激响应 $h(t)$ 的形式，并给出波形参数

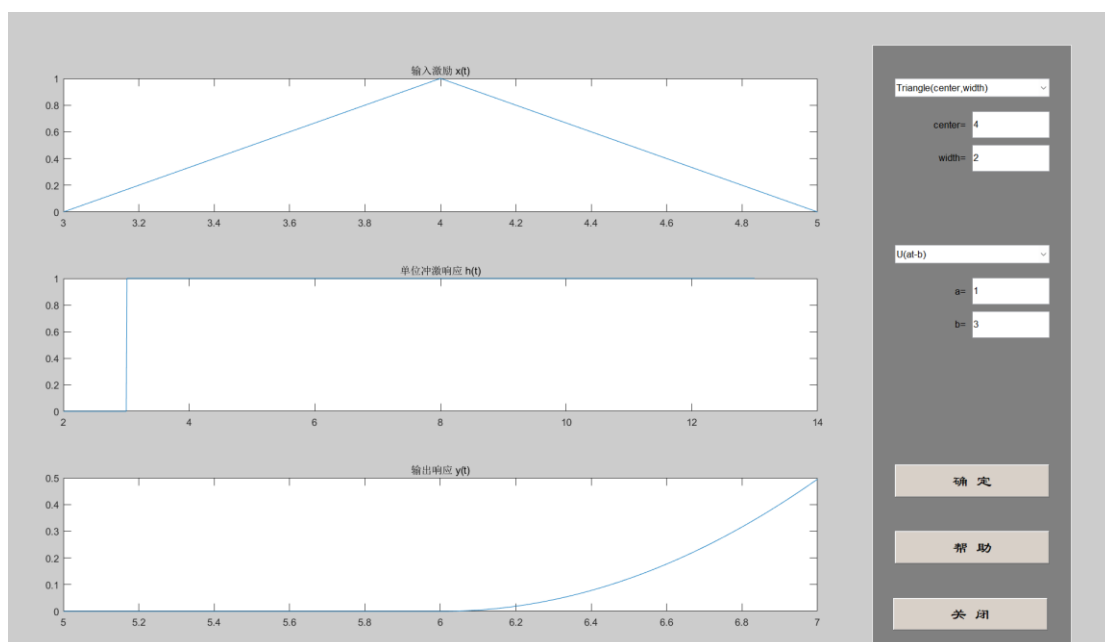
方法同输入激励 $x(t)$ 的操作。

二、实验内容：

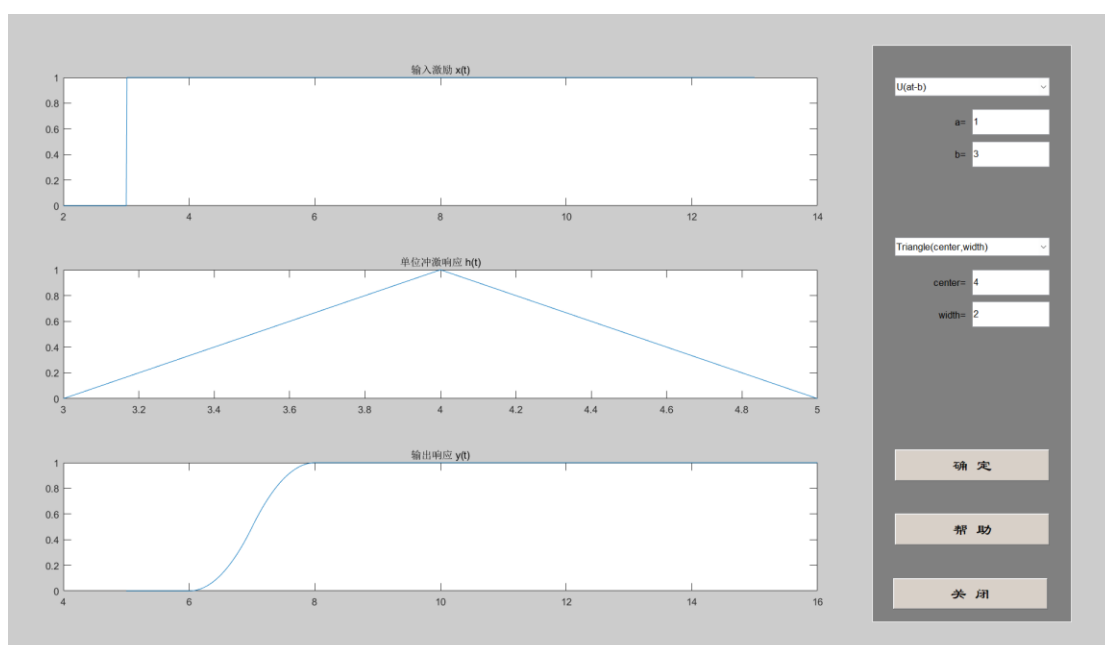
1. $U(t) * U(t-3)$



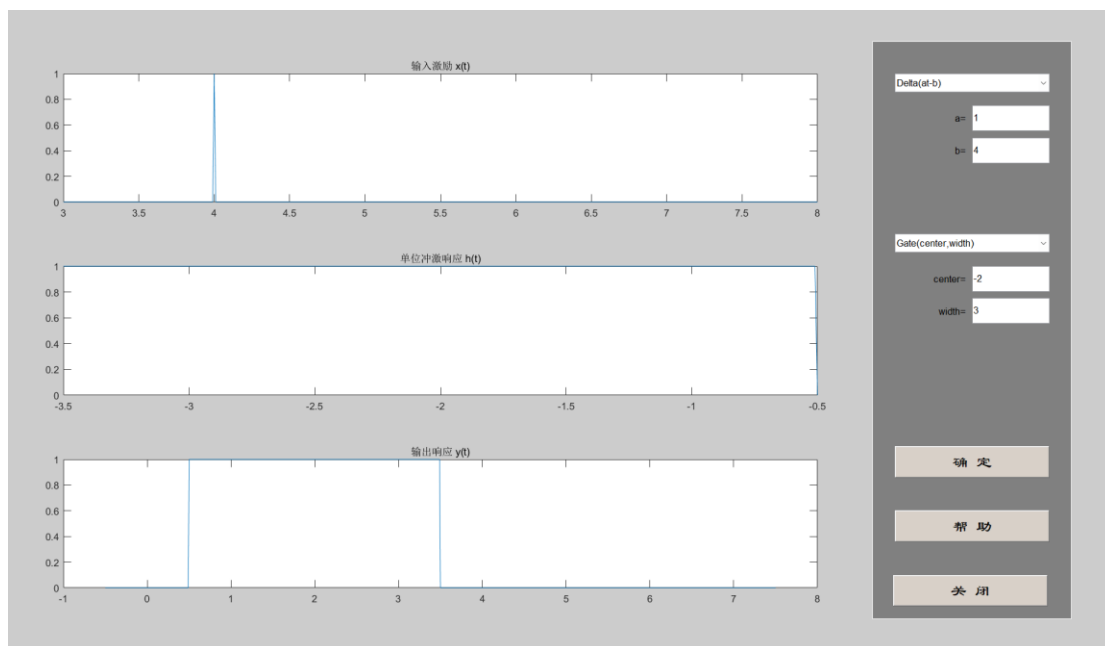
2. $\text{Triangle}(4, 2) * U(t-3)$



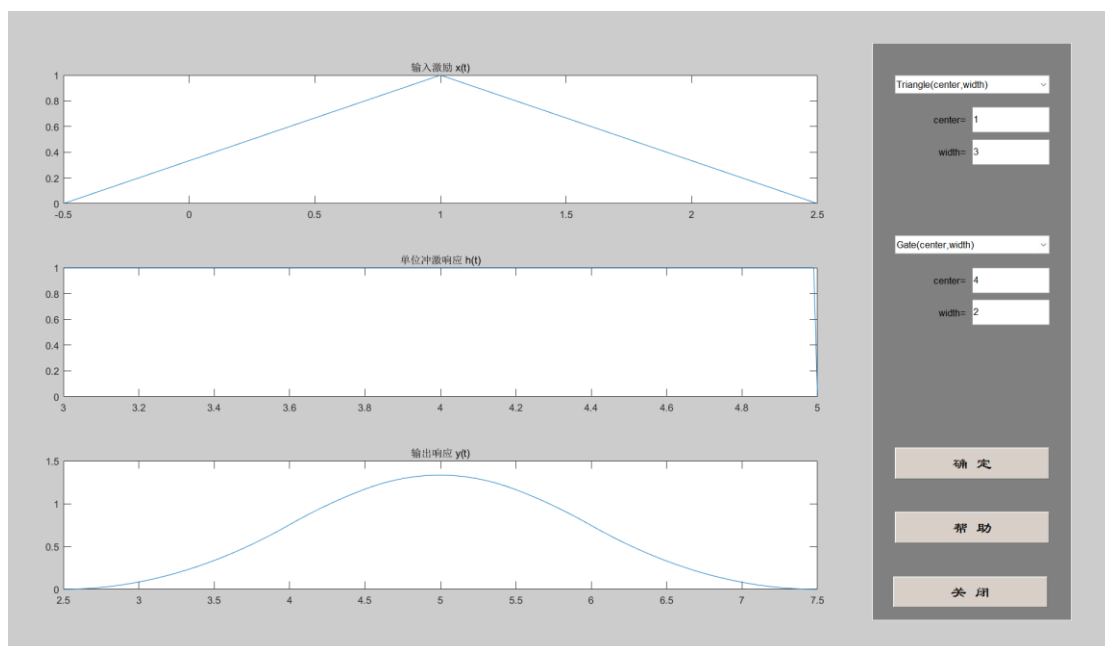
3. $U(t-3)*\text{Triangle}(4,2)$



4. $\text{Delta}(t-4)*\text{Gate}(-2,3)$



5. $\text{Triangle}(1, 3) * \text{Gate}(4, 2)$



三、结果与分析

1 中将两个阶跃信号 $U(t)$ 和 $U(t-3)$ 相卷积,得到了起始时间为 $t=3+0=3$ 的一次函数信号; 2 和 3 中将三角波信号 $\text{Triangle}(4, 2)$ 与阶跃信号 $U(t-3)$ 相卷积,得到了相同的二次函数信号,验证了卷积运算的交换律; 4 中将冲激信号 $\delta(t-4)$ 与门信号 $\text{Gate}(4, 2)$ 相卷积,验证了冲激信号的波形搬移性质; 5 中将三角波信号 $\text{Triangle}(1, 3)$ 与门信号 $\text{Gate}(4, 2)$ 相卷积,得到了起始时间为 $t=3-0.5=2.5$, 终止时间为 $t=5+2.5=7.5$ 的响应。以上实验验证了卷积运算的正确性。

1-2 实验一 连续时间系统的时域分析——微分方程求解

一、实验步骤:

1. 选择激励电压源的形式

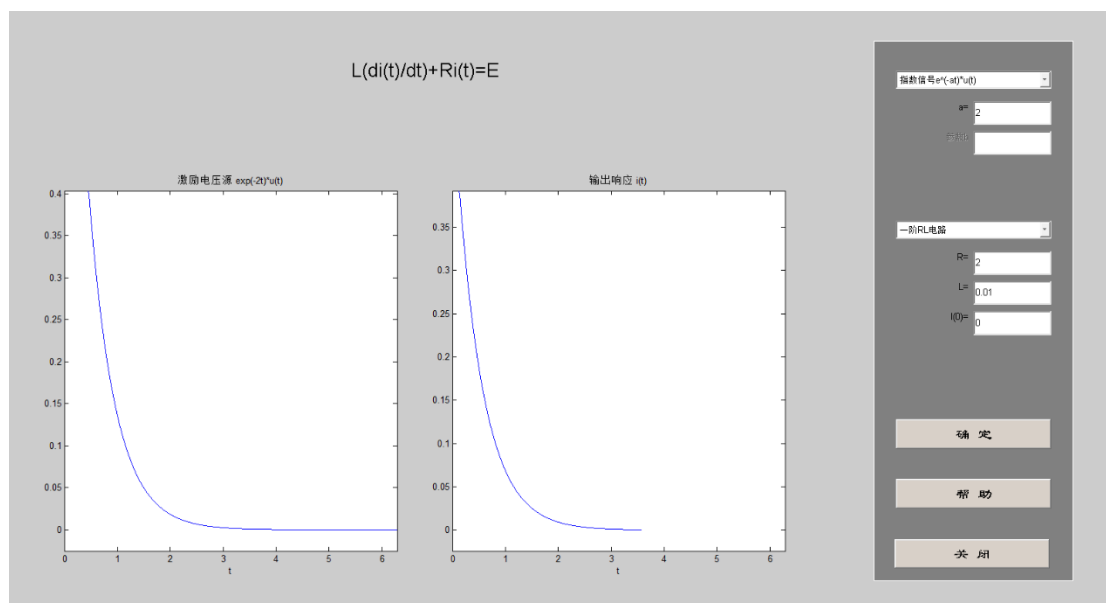
本实验中激励电压源有三种形式可供选择： $au(t)$ 、 $\exp(-at)u(t)$ 、 $\sin(\omega t)u(t)$ 。波形参数 a 、 ω 由键盘输入。

2. 选择电路组成形态

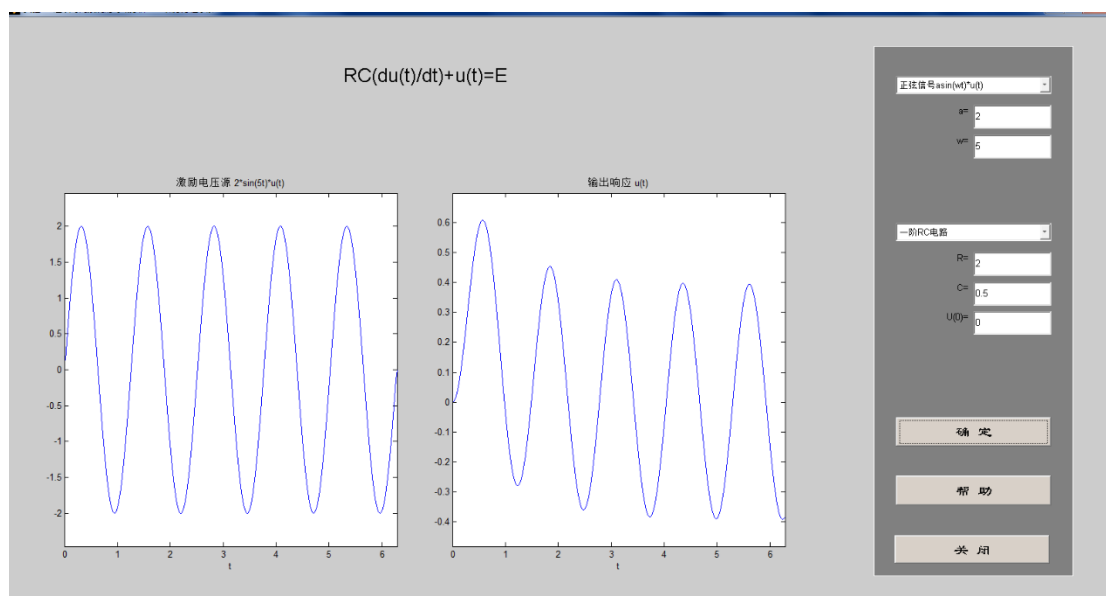
实验者可以选择分析一阶 或一阶 RC 电路来进行分析, 由键盘输入电路参数。包括: 电阻值 R 、电感值 L (或电容值 C)和电感电流初始值 $I(0)$ (或电容电压 $U(0)$)。

二、实验内容：

1. 激励电压源：指数信号 $e^{(-2t)} * u(t)$ ，一阶 RL 电路 $R=2, L=0.01, I(0)=0$



2. 激励电压源：正弦信号 $2\sin(5t) * u(t)$ ，一阶 RC 电路 $R=2, L=0.5, U(0)=0$



三、结果与分析

1 中选取激励电压源为指数信号 $e^{(-2t)} * u(t)$ ，一阶 RL 电路参数 $R=2, L=0.01, I(0)=0$ ，得到输出响应也呈指数衰减；2 中选取激励电压源为正弦信号 $2\sin(5t) * u(t)$ ，一阶 RC 电路参数 $R=2, L=0.5, U(0)=0$ ，得到输出响应逐渐从暂态转换为稳态响应。

在一阶 RL 电路中，若激励为电压源 $E(t)$ ，输出响应为电感电流 $I(t)$ ，则描述系统的微

分方程为: $L \cdot dI(t)/dt + R \cdot I(t) = E(t)$ 。只要给定 $E(t)$ 和初始状态 $I(0)$ 的值,就可以求出完全响应 $I(t)$;

在一阶 RC 电路中,若激励为电压源 $E(t)$,输出响应为电容电压 $u(t)$,则描述系统的微分方程为: $R \cdot C \cdot du(t)/dt + u(t) = E(t)$ 。只要给定 $E(t)$ 和初始状态 $U(0)$ 的值,就可以求出完全响应 $U(t)$ 。在本实验中通过输入激励电压 $E(t)$ 和电路参数 R 、 L 、 C 得到不同形式下的系统输出响应。

2-1 实验二 信号的 Fourier 分析——周期信号的频谱分析

一、实验步骤:

1. 选择周期信号波形

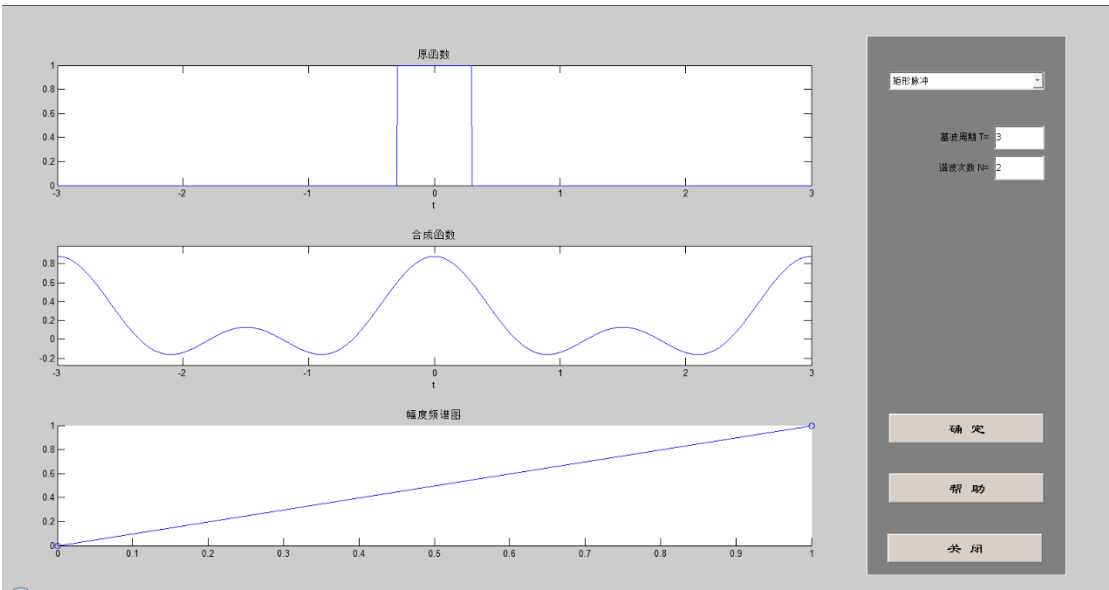
本实验提供了四种周期波形的 Fourier 级数逼近:矩形脉冲、半余弦脉冲、锯齿波和方波,包括了偶、奇函数,偶谐、奇谐函数的波形。实验者可由直观图形观察它们所包含的谐波分量的特点。

2. 输入参数

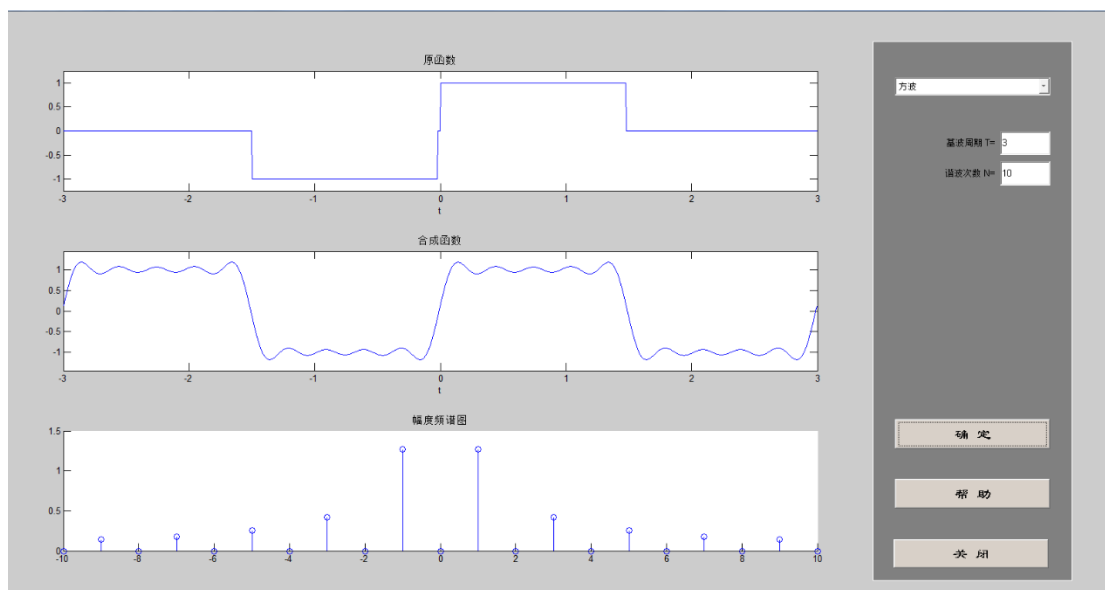
需要输入的参数包括:周期波形的周期 T ,希望看到的谐波次数 N 。

二、实验内容:

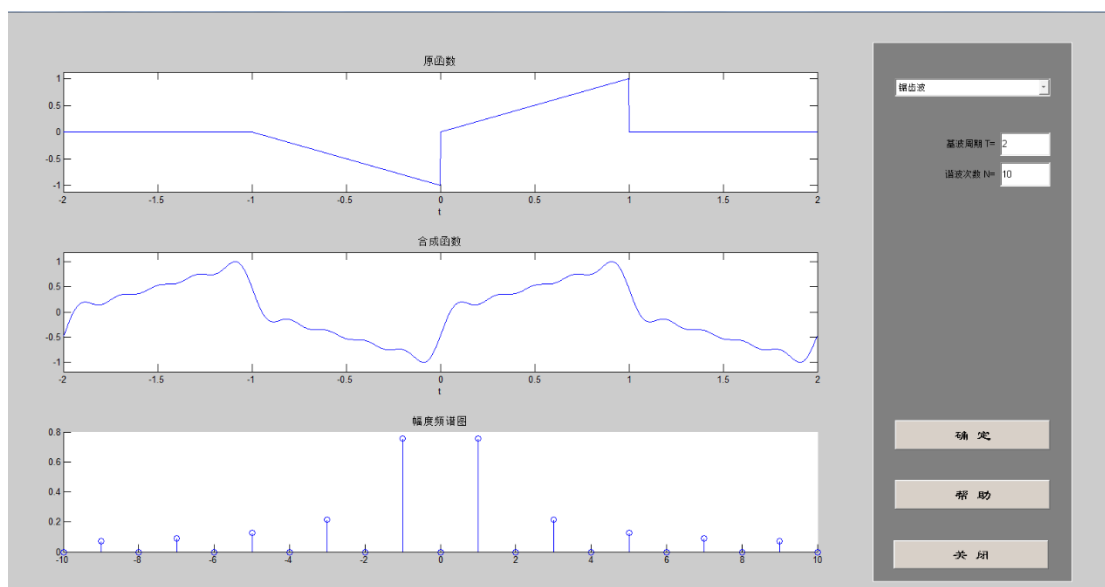
1. 矩形脉冲 (基波周期 $T=3$, 谐波次数 $N=2$)



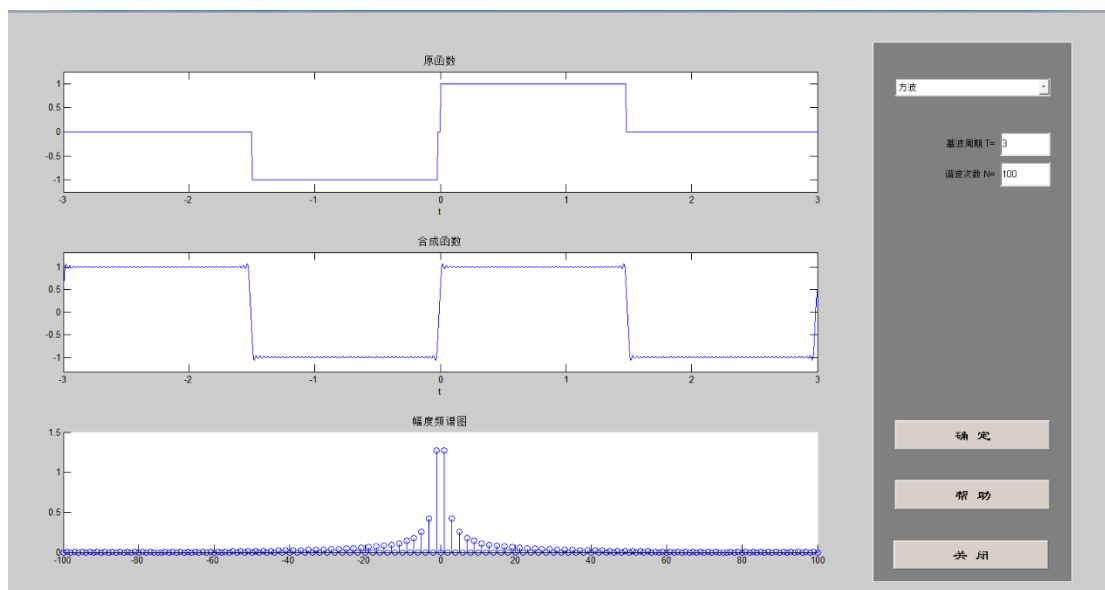
2. 方波 (基波周期 $T=3$, 谐波次数 $N=10$)



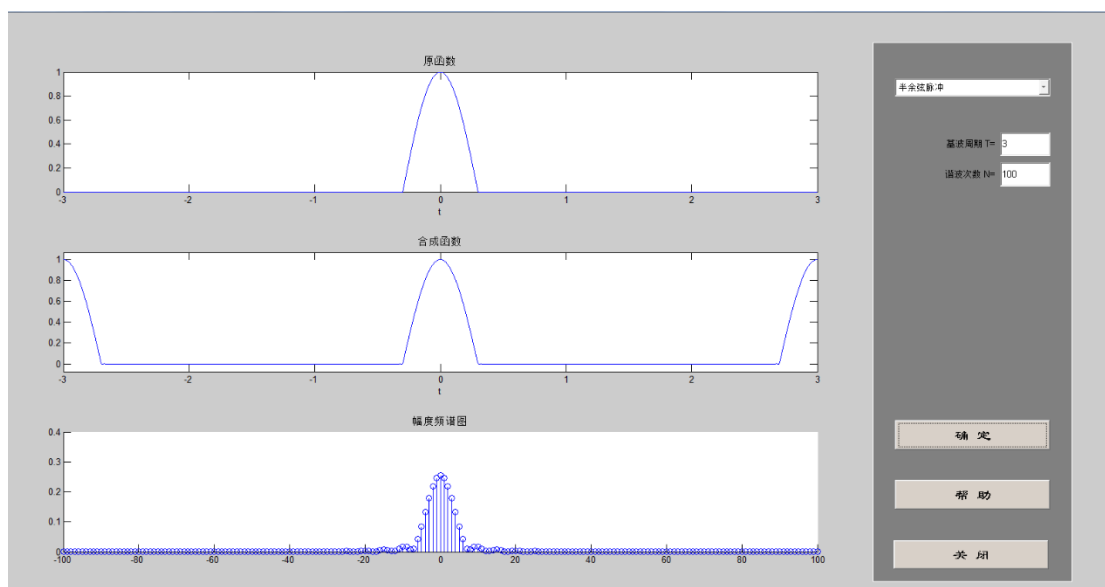
3. 锯齿波（基波周期 $T=2$, 谐波次数 $N=10$ ）



4. 方波（基波周期 $T=3$, 谐波次数 $N=100$ ）



5. 半余弦脉冲（基波周期 $T=3$, 谐波次数 $N=100$ ）



三、结果与分析

在 1 中选取矩形脉冲，基波周期 $T=3$ ，谐波次数 $N=2$ ，得到的是直流分量与一、二次谐波分量的叠加，由于谐波次数较少，难以反映矩形脉冲信号波形；在 2 中选取谐波次数 $N=10$ ，波形明显得到改善；3 中选取锯齿波，基波周期 $T=2$ ，谐波次数 $N=10$ ，同样大致能体现锯齿波波形；4 中选取方波，基波周期 $T=3$ ，谐波次数 $N=100$ ，波形与原波形非常接近，幅度频谱较为密集，同时也可以观察到 Gibbs 现象；5 中选取半余弦脉冲，基波周期 $T=3$ ，谐波次数 $N=100$ ，波形与原波形非常接近，幅度频谱较为密集。

Fourier 级数的理论告诉我们：任何周期信号只要满足 Dirichlet 条件，就可以表示为许多指数分量之和（指数 Fourier 级数）或许多正弦、余弦分量之和（三角 Fourier 级数）。一般情况下，任意周期信号表示为 Fourier 级数时，需要无穷多项才能完全逼近原函数。实际应用经常采用有限项级数来代替无限项级数，所选项数越多，有限项级数越逼近原函数，均方误差越小。选取的 Fourier 级数项越多，所合成的波形 $N(t)$ 中的峰值越靠近 $f(t)$ 的不连续点。理论上，随着项数 N 的增加，该峰值趋于一个常数，约等于跳变值的 9%，并从

不连续点开始逐渐震荡衰减，此即 Gibbs 现象。

2-2 实验二 信号的 Fourier 分析——Fourier 变换的性质及应用(无法运行)

3-1 实验三 连续时间系统的频率分析——连续时间系统的频域分析

一、实验步骤：

1. 输入分子多项式的系数向量

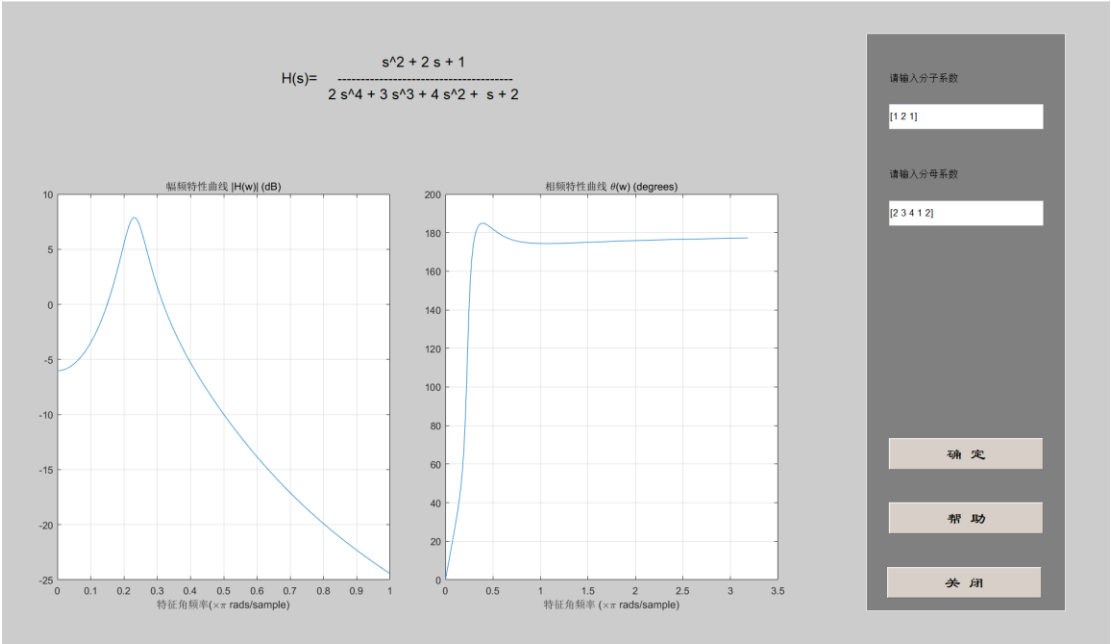
按照 s 降幂的顺序输入。

2. 输入分母多项式的系数向量

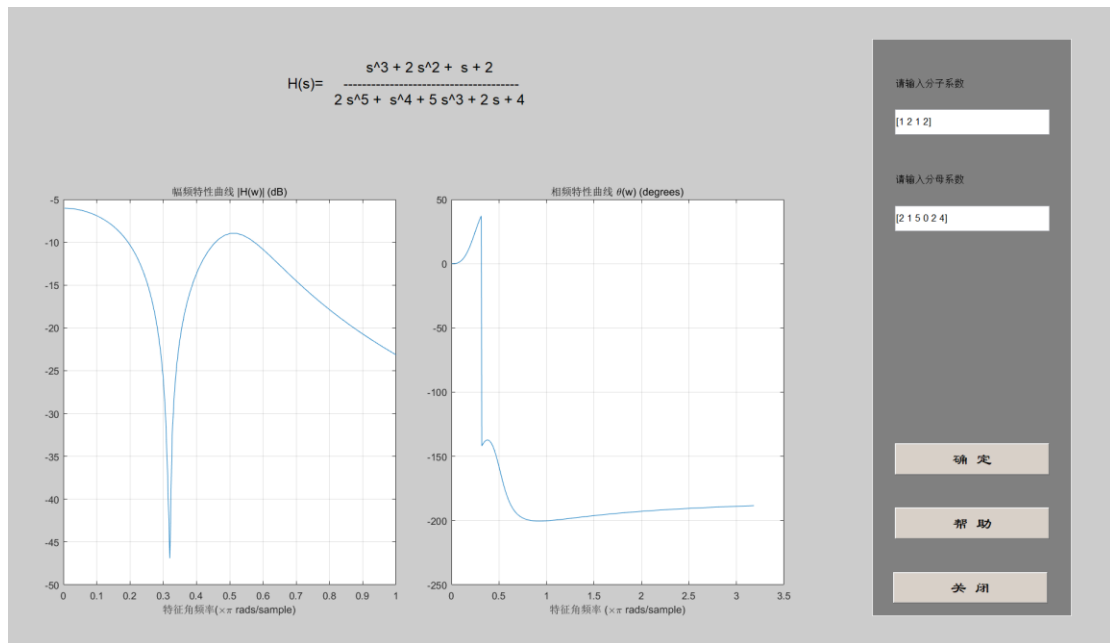
按照 s 降幂的顺序输入。

二、实验内容：

1. 分子系数[1 2 1], 分母系数[2 3 4 1 2]



2. 分子系数[1 2 1 2], 分母系数[2 1 5 0 2 4]



三、结果与分析

1 中选取分子系数[1 2 1],分母系数[2 3 4 1 2],构造出了一个带通滤波器,且在通带范围相频响应(0.15-0.33×pi rads/sample)内基本呈线性;2中选取分子系数[1 2 1 2],分母系数[2 1 5 0 2 4],构造出了一个带阻滤波器(陷波器)。

利用系统函数 $H(s)$ $s=j\omega$ 来确定系统的频率特性 $H(j\omega)$,其中系统函数 $H(s)$ 为有理函数,分子、分母为多项式。幅度响应为 $|H(j\omega)|$,相位响应为 $\arg[H(j\omega)]$

4-1 实验四 Laplace 逆变换及应用——Laplace 变换的性质

一、实验步骤:

1. 输入系统增益系数

系统增益系数不能为零。

2. 输入由系统零点构成的零点向量

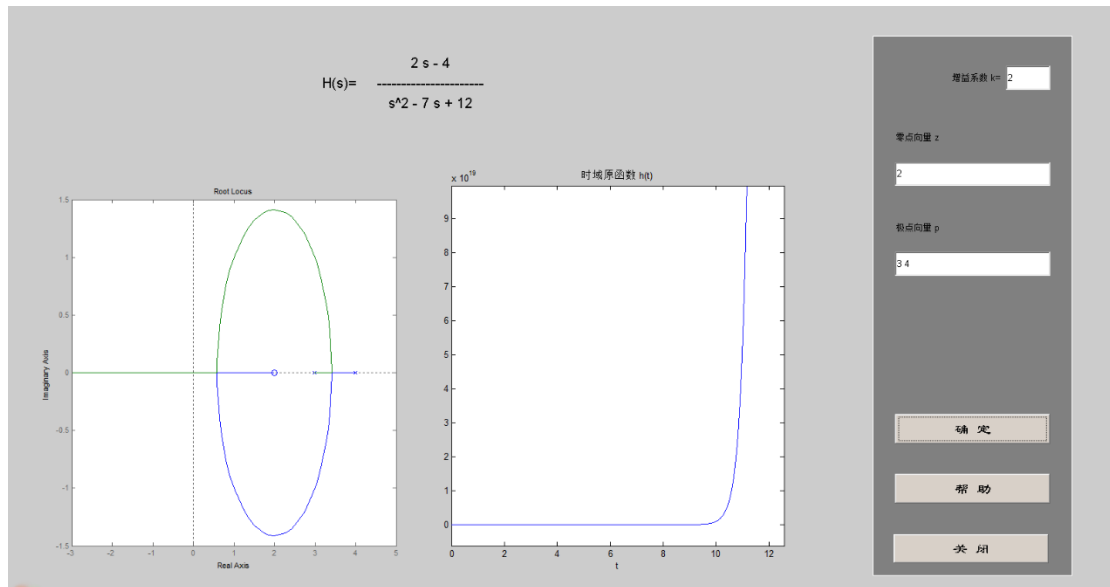
如果系统无零点,请不要输入任何值因为如果输入零,系统将认为有一个取值为零的零点。

3. 输入由系统极点构成的极点向量

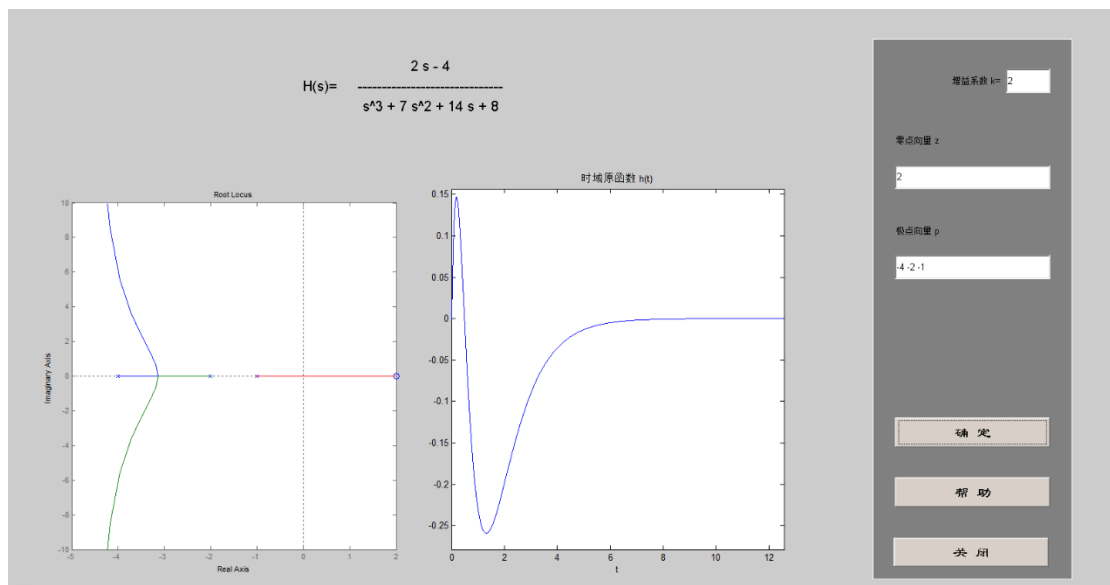
如果系统无极点,请不要输入任何值。因为如果输入零,系统将认为有一个取值为零的极点。

二、实验内容:

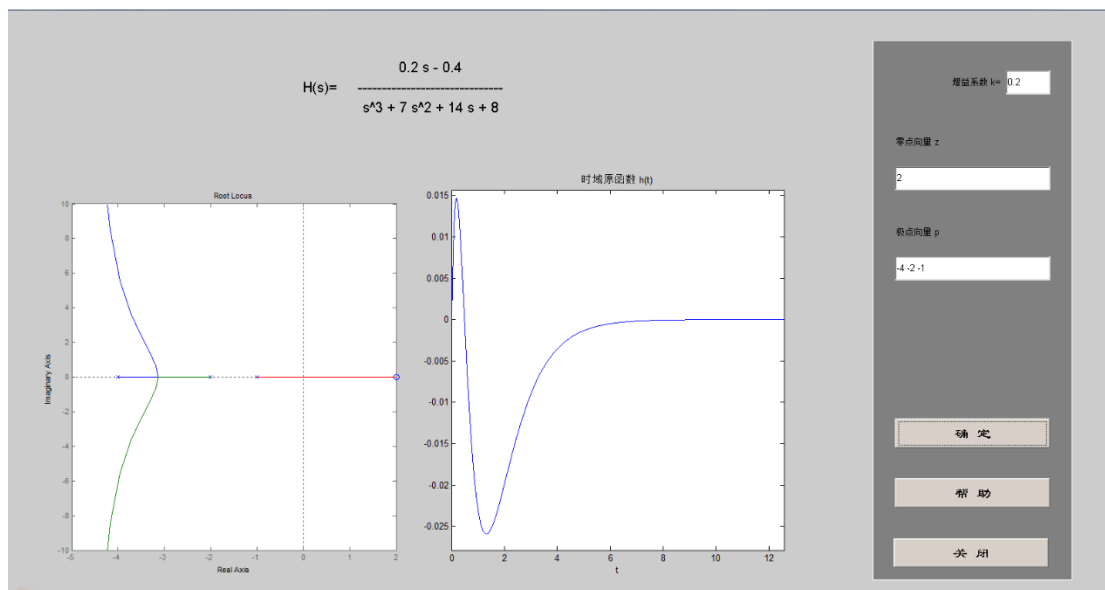
1. 增益系数 $k=2$, 零点向量 $z=[2]$, 极点向量 $p=[3 \ 4]$



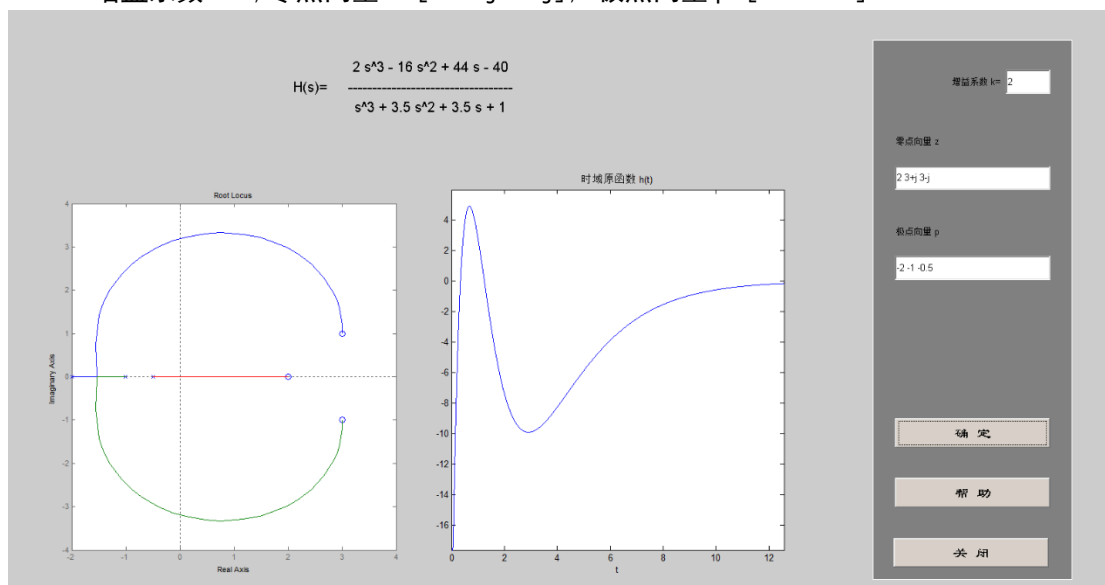
2. 增益系数 $k=2$, 零点向量 $z=[2]$, 极点向量 $p=[-4 \ -2 \ -1]$



3. 增益系数 $k=0.2$, 零点向量 $z=[2]$, 极点向量 $p=[-4 \ -2 \ -1]$



4. 增益系数 $k=2$, 零点向量 $z=[2 \ 3+j \ 3-j]$, 极点向量 $p=[1 \ 3 \ 3 \ 1]$



三、结果与分析

1 中选取增益系数 $k=2$, 零点向量 $z=[2]$, 极点向量 $p=[3 \ 4]$, 得到时域函数为两指数信号的叠加; 2 中选取增益系数 $k=2$, 零点向量 $z=[2]$, 极点向量 $p=[-4 \ -2 \ -1]$, 得到时域函数收敛; 3 中将 2 的增益系数 k 调整为 0.2, 时域波形也收敛, 为 2 中信号取值的 0.1 倍, 验证了 Laplace 变换的线性; 4 中选取增益系数 $k=2$, 零点向量 $z=[2 \ 3+j \ 3-j]$, 极点向量 $p=[1 \ 3 \ 3 \ 1]$, 得到时域波形包含了两指数信号乘 t 后的线性叠加。

4-2 实验四 Laplace 逆变换及应用——高速 Laplace 逆变换算法

一、实验步骤:

1. 输入分子多项式的系数向量

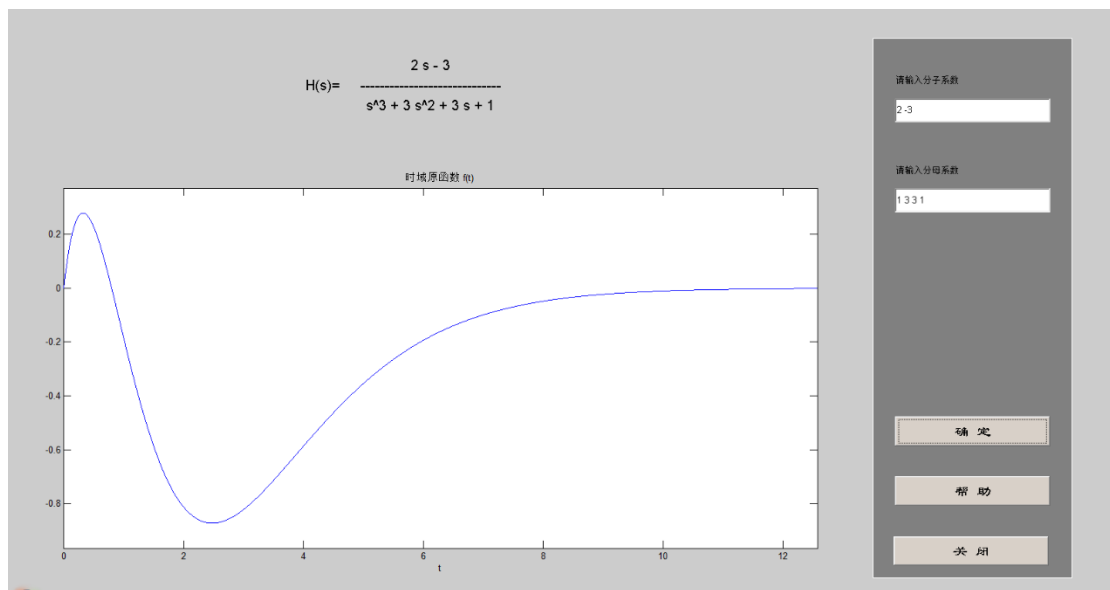
按照 s 降幂的顺序输入。

2. 输入分母多项式的系数向量

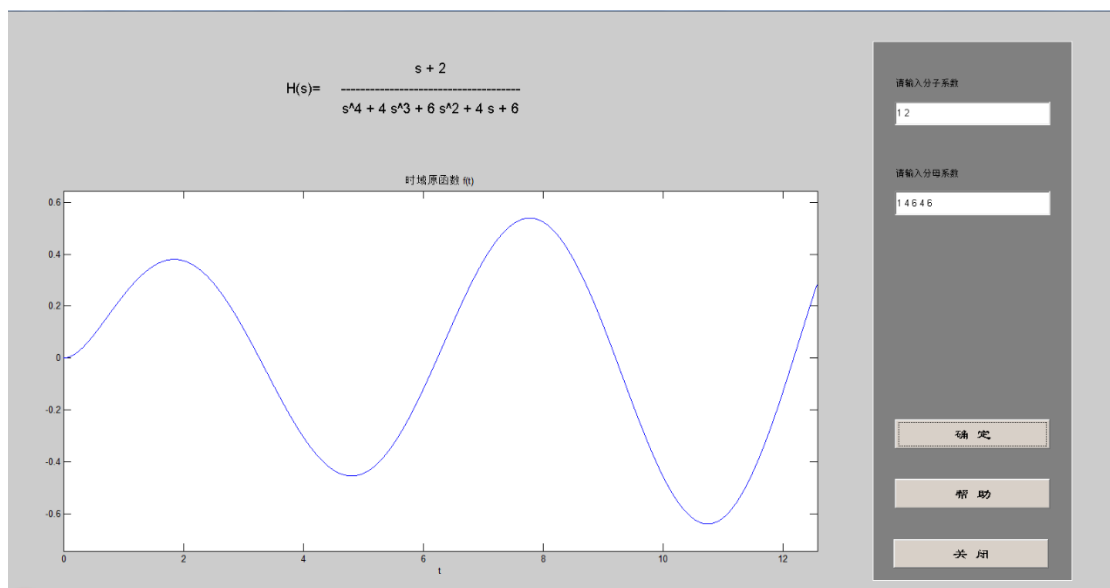
按照 s 降幂的顺序输入。

二、实验内容：

1. 分子系数[-2 3], 分母系数[1 3 3 1]



2. 分子系数[1 2], 分母系数[1 4 6 4 6]



三、结果与分析

1 中选取分子系数[-2 3], 分母系数[1 3 3 1], 得到时域波形包含了 $t \cdot e^{-t}$ 与指数信号的叠加; 2 中选取分子系数[1 2], 分母系数[1 4 6 4 6], 从复频域角度看, 分母多项式可表为 $(s+1)^4 + 5 = s^4 + 4s^3 + 6s^2 + 4s + 6$, 在复频域存在 2 对共轭极点, 在时域上呈现出余弦信号振荡。

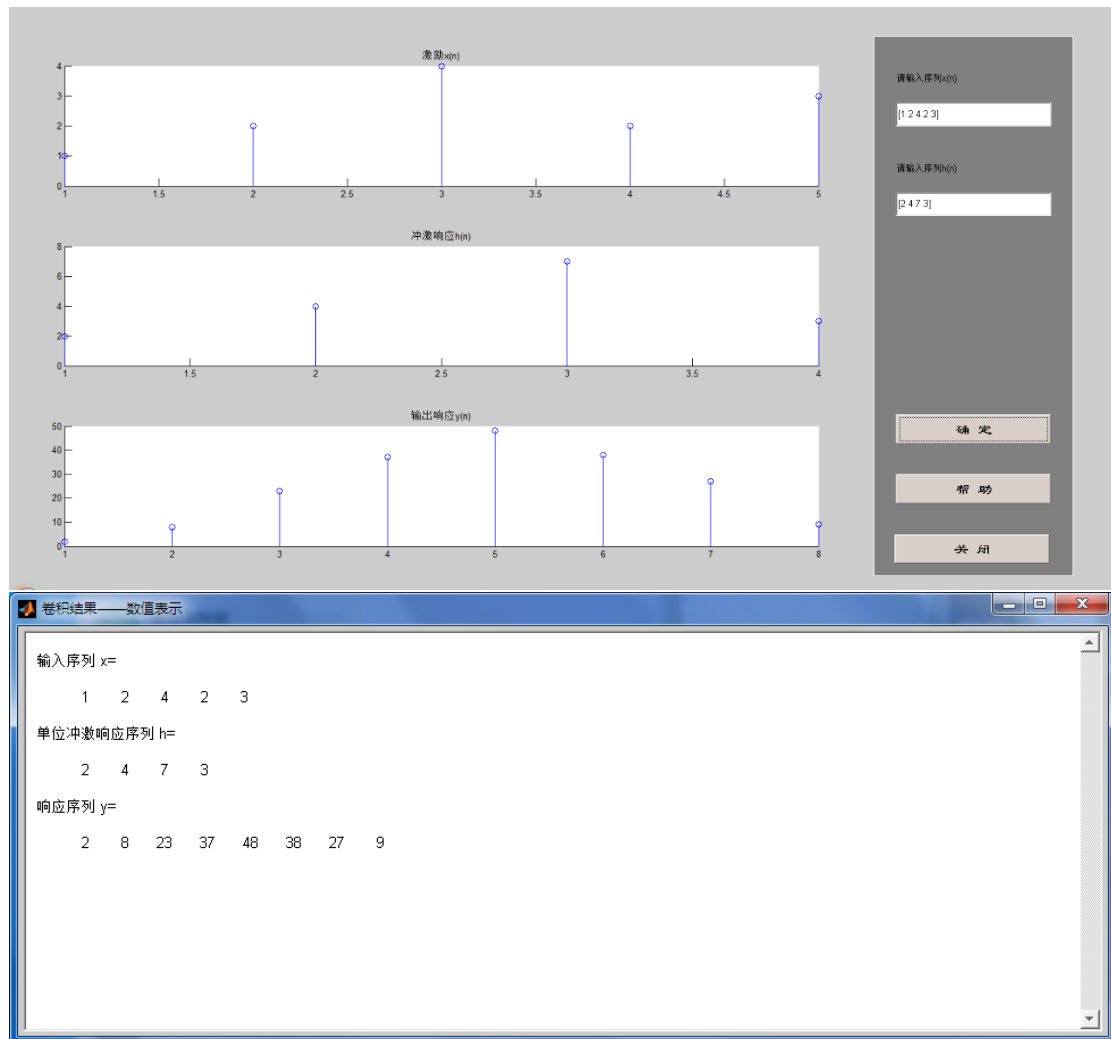
5-1 实验五 离散时间系统的时域分析——离散卷积计算

一、实验步骤：

1. 输入有限长序列
以空格分隔数字 $x(n)$ 。
2. 输入有限长序列 $h(n)$

二、实验内容：

1. 序列 $x[n]=[1\ 2\ 4\ 2\ 3]$, 序列 $h[n]=[2\ 4\ 7\ 3]$



三、结果与分析

选取序列 $x[n]=[1\ 2\ 4\ 2\ 3]$, 序列 $h[n]=[2\ 4\ 7\ 3]$, 通过离散卷积计算得到 $y[n]$ 。对于线性移不变离散时间系统, 如果已经知道了系统的单位冲激响应 $h[n]$, 就可以利用离散卷积求出系统在任何激励 $x[n]$ 作用下的零状态响应 $Y_{zs}[n]$ 。

5-2 实验五 离散时间系统的时域分析——差分方程求解

一、实验步骤：

1. 输入希望看到的输出样点数

2. 输入差分方程系数向量

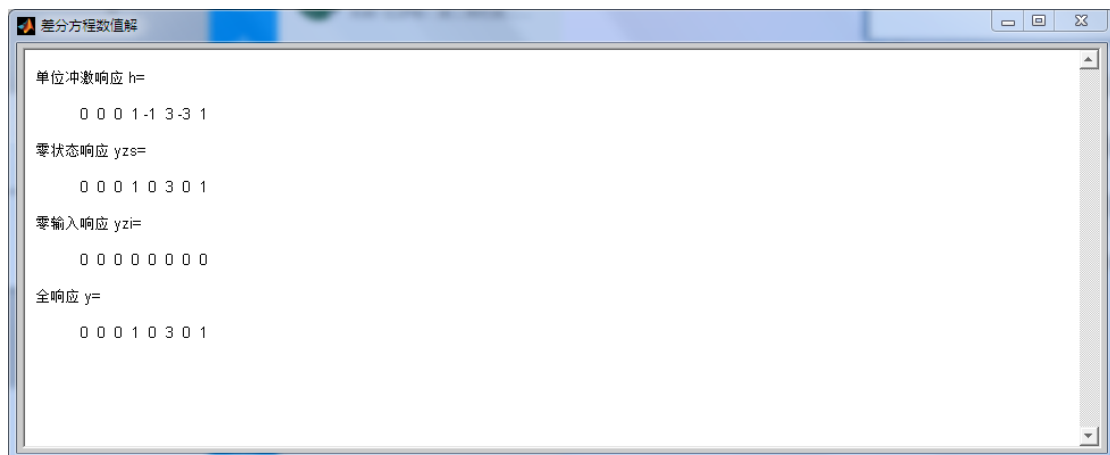
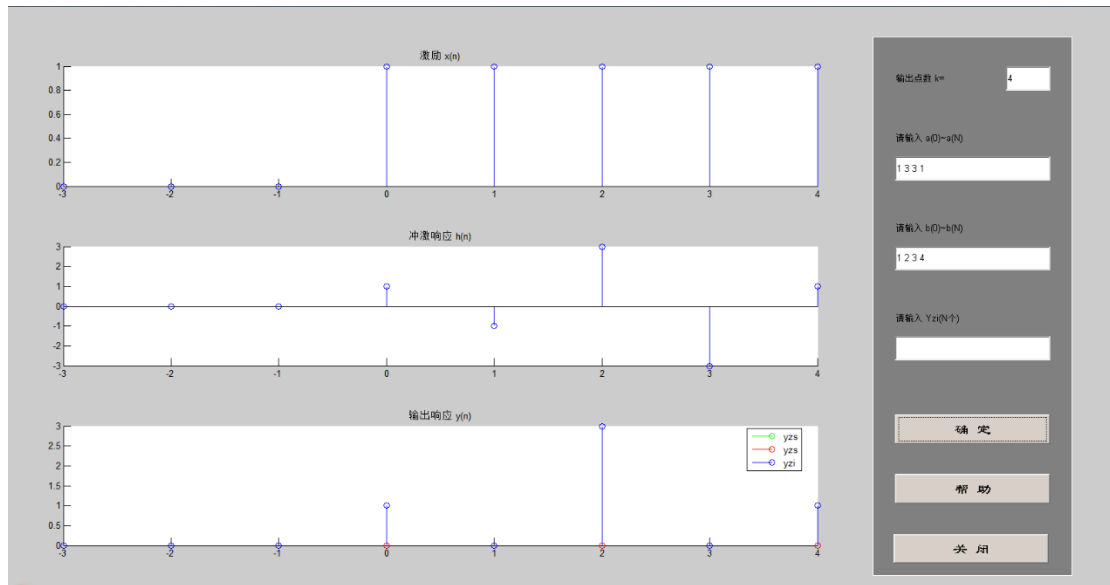
输入顺序为: $\{a(0)\ a(1)\ \dots\ a(N)\}$, $\{b(0)\ b(1)\ \dots\ b(N)\}$ 。其中 $N+1$ 为差分方程两边系数最大数目, 如果有一边输入系数个数小于 $N+1$, 将按剩余系数为零计算。

3. 输入系统初始状态向量

输入顺序为 $\{y(0)\ y(-1)\ \dots\ y(-N+1)\}$ 。

二、实验内容：

1. 输出点数 $k=4$, $a=[1\ 3\ 3\ 1]$, $b=[1\ 2\ 3\ 4]$, 初始条件为无



三、结果与分析

选择输出点数 $k=4$, $a=[1 \ 3 \ 3 \ 1]$, $b=[1 \ 2 \ 3 \ 4]$, 初始条件为无, 通过求解差分方程得到 $y[n]$ 与 $x[n]$ 之间的关系, 代入 $x[n]$ 得到 $y[n]$ 。

6-1 实验六 离散系统的 z 域分析——离散系统的 z 域分析

一、实验步骤:

1. 输入分子多项式的系数向量

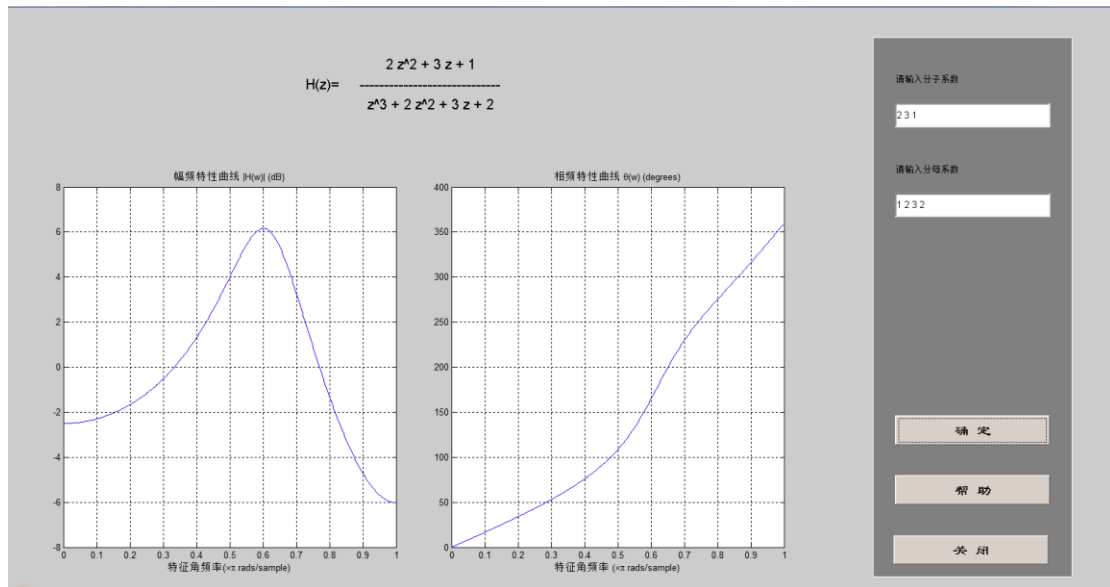
按照 s 降幂的顺序输入。

2. 输入分母多项式的系数向量

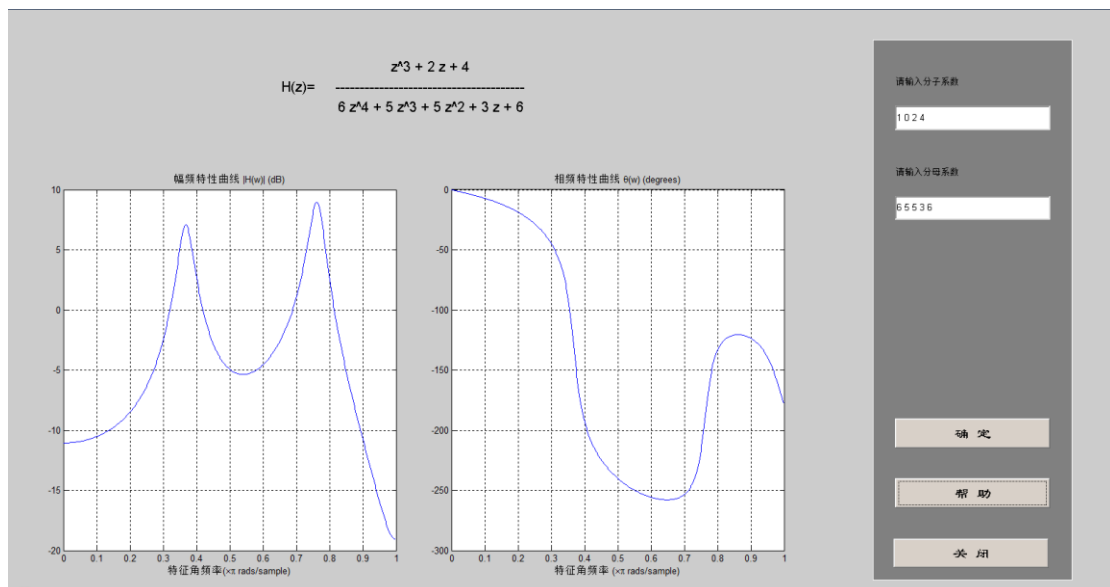
按照 s 降幂的顺序输入。

二、实验内容:

1. 分子系数 $[2 \ 3 \ 1]$, 分母系数 $[1 \ 2 \ 3 \ 2]$



2. 分子系数[1 0 2 4], 分母系数[6 5 5 3 6]



三、结果与分析

1 中选取分子系数[2 3 1], 分母系数[1 2 3 2], 2 中选取分子系数[1 0 2 4], 分母系数[6 5 5 3 6], 二者系统稳定, 通过代入 $r=1$ 得到离散傅里叶变换, 从而获取幅频特性曲线和相频特性曲线。

对于离散时间系统, 系统的频率特性 $H(e^{j\omega})$ 可以由系统函数 $H(z)$ 得到关系式为: $H(e^{j\omega}) = H(z) |_{|z|=1} = e^{j\omega}$ 。由于系统频率特性 $H(e^{j\omega})$ 具有周期性和对称性, 因此研究系统幅频特性 $|H(e^{j\omega})|$ 、相频特性 $\arg[H(e^{j\omega})]$ 只要在 $0 \leq \omega \leq \pi$ 范围内讨论即可。

7-1 实验七 状态变量分析法——状态变量分析法

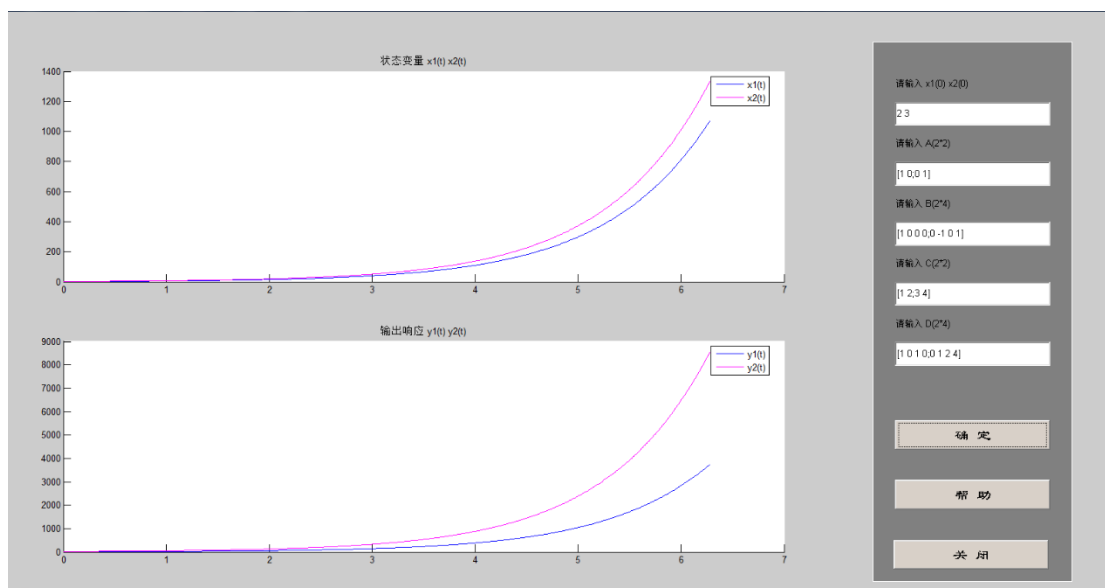
一、实验步骤:

1. 输入时间步长
2. 输入状态变量 $x_1(t)$ 、 $x_2(t)$ 的初始值 $x_1(0)$ 、 $x_2(0)$

输入系数矩阵 A、B 的值,系数矩阵 A 大小为 2x2, B 大小为 2x4。

二、实验内容：

1. $X_1(0)=2$, $x_2(0)=3$, $A=\begin{bmatrix} 1 & 0 \\ 0 & 1 \end{bmatrix}$, $B=\begin{bmatrix} 1 & 0 & 0 & 0 \\ 0 & -1 & 0 & 1 \end{bmatrix}$, $C=\begin{bmatrix} 1 & 2 \\ 3 & 4 \end{bmatrix}$, $D=\begin{bmatrix} 1 & 0 & 1 & 0 \\ 0 & 1 & 2 & 4 \end{bmatrix}$



三、结果与分析

输入 $X_1(0)=2$, $x_2(0)=3$, $A=\begin{bmatrix} 1 & 0 \\ 0 & 1 \end{bmatrix}$, $B=\begin{bmatrix} 1 & 0 & 0 & 0 \\ 0 & -1 & 0 & 1 \end{bmatrix}$, $C=\begin{bmatrix} 1 & 2 \\ 3 & 4 \end{bmatrix}$, $D=\begin{bmatrix} 1 & 0 & 1 & 0 \\ 0 & 1 & 2 & 4 \end{bmatrix}$, 即可由输入-输出描述法得到状态变量和输出响应。对于 LTI 系统, 状态方程可以表示为状态变量和激励信号的线性组合, 即 $\dot{X}' = A*X + B*E$ 。

8-1 实验八 线性系统稳定性分析——线性系统稳定性分析

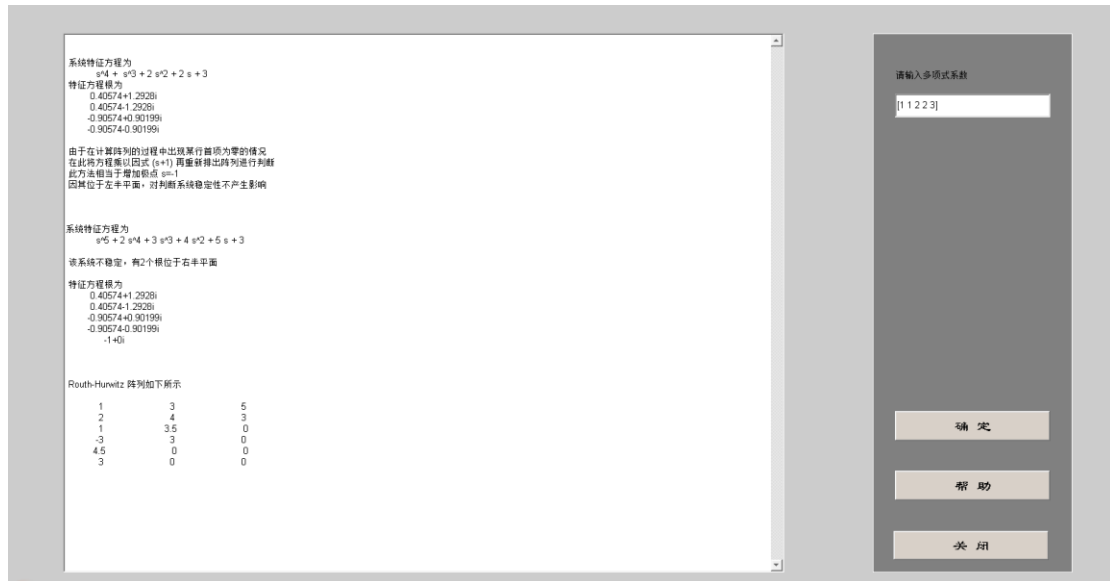
一、实验步骤：

1. 输入特征方程系数向量

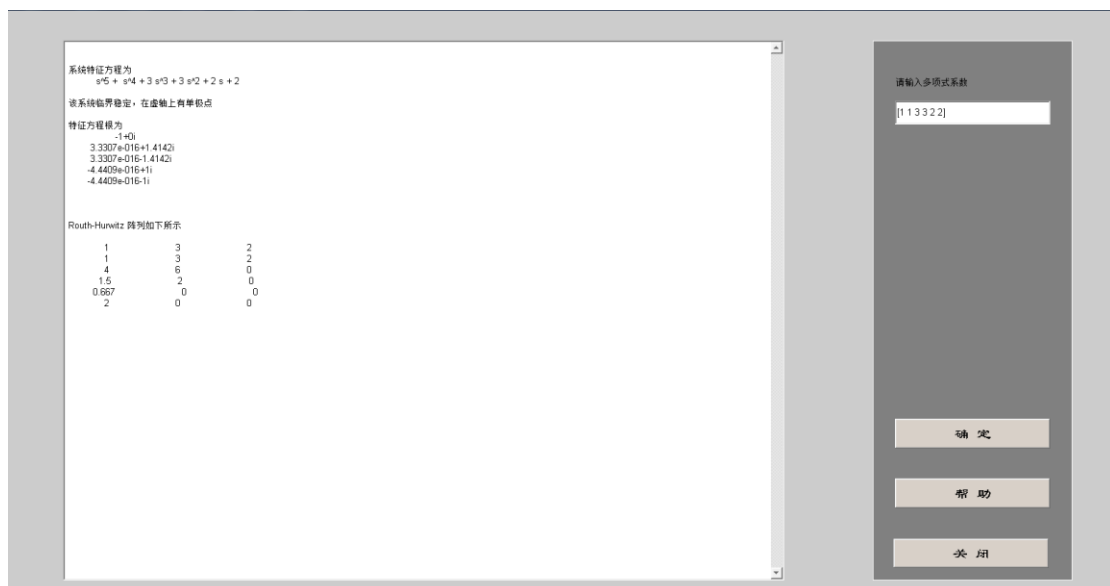
$a(n)$ 、 $a(n-1)\dots a(1)$ 、 $a(0)$

二、实验内容：

1. 多项式系数 $[1 \ 1 \ 2 \ 2 \ 3]$



2. 多项式系数[1 1 3 3 2 2]



三、 结果与分析

1 中选取多项式系数[1 1 2 2 3], 得到系统存在极点在右半平面, 系统不稳定; 2 中选取多项式系数[1 1 3 3 2 2], 得到系统存在极点位于虚轴, 系统临界稳定。

稳定系统是指对于有现有限(有界)激励只能产生有限(有界)响应的系统。在复频域中, 要判断一个反馈系统是否稳定, 就要看系统函数 $H(s)$ 的极点是否全部在左半平面, 或者要看系统特征方程的根是否全部为负值。而系统无论有无反馈, 其特征方程都可以写成 $a(n)*s^n + a(n-1)*s^{n-1} + \dots + a(1)*s + a(0) = 0$ 。

9-1 实验九 离散 Fourier 变换(DFT)——DFT 计算

一、实验步骤:

1. 输入取样点数

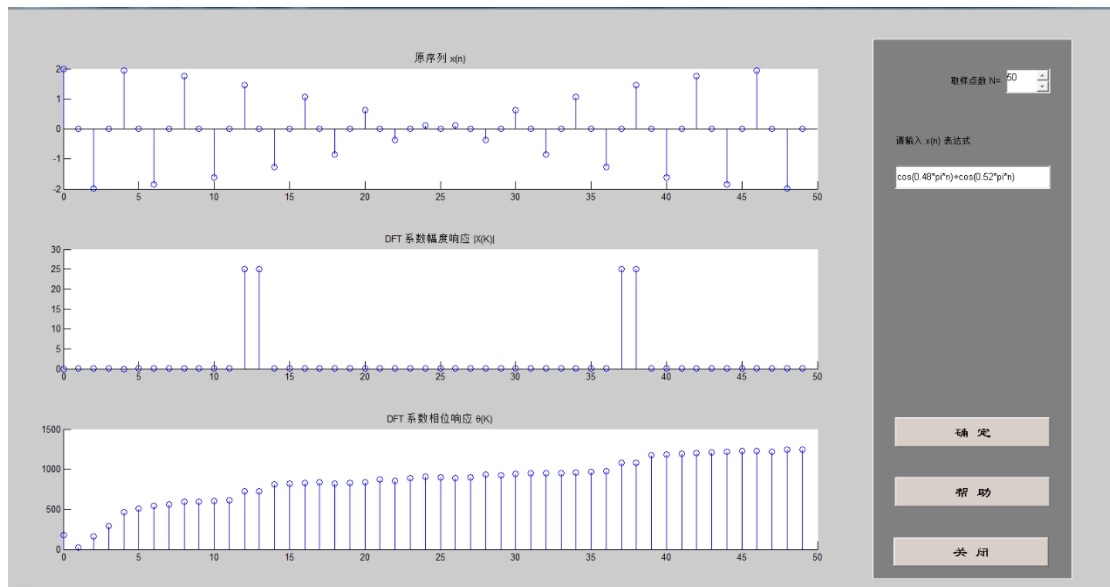
即有限长序列 $x(n)$ 的长度。

2. 输入信号表达式

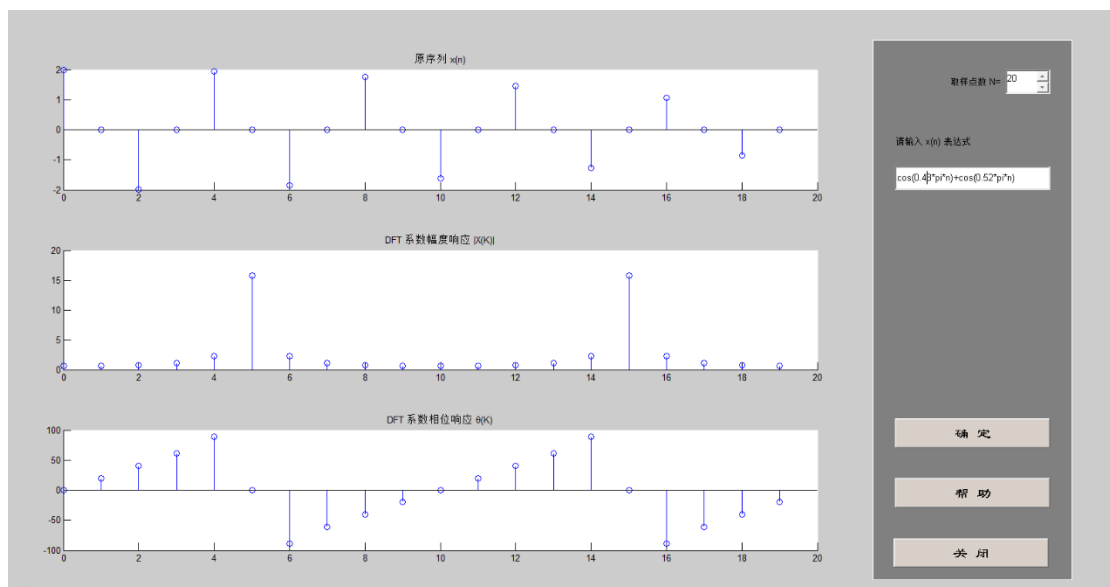
注意自变量为 n 。

二、实验内容：

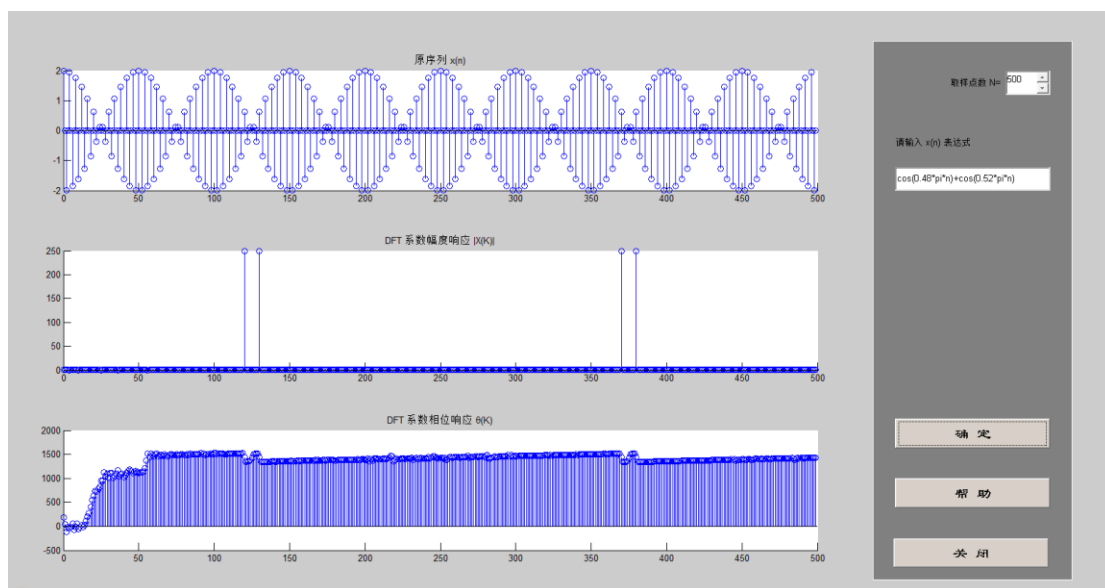
1. 取样点数 $N=50$, $x[n]=\cos(0.48\pi n)+\cos(0.52\pi n)$



2. 取样点数 $N=20$, $x[n]=\cos(0.48\pi n)+\cos(0.52\pi n)$



3. 取样点数 $N=500$, $x[n]=\cos(0.48\pi n)+\cos(0.52\pi n)$



三、结果与分析

1 中选取取样点数 $N=50$, $x[n] = \cos(0.48\pi n) + \cos(0.52\pi n)$, 2 中选取取样点数 $N=20$, $x[n] = \cos(0.48\pi n) + \cos(0.52\pi n)$, 3 中选取取样点数 $N=500$, $x[n] = \cos(0.48\pi n) + \cos(0.52\pi n)$, 通过离散傅里叶变换得到 DFT 幅频响应和相频响应。对于周期信号而言, 其 DFT 信号是离散的。

9-2 实验九 离散 Fourier 变换 (DFT) —— DFT 的实序列对称性

一、实验步骤:

1. 输入取样点数

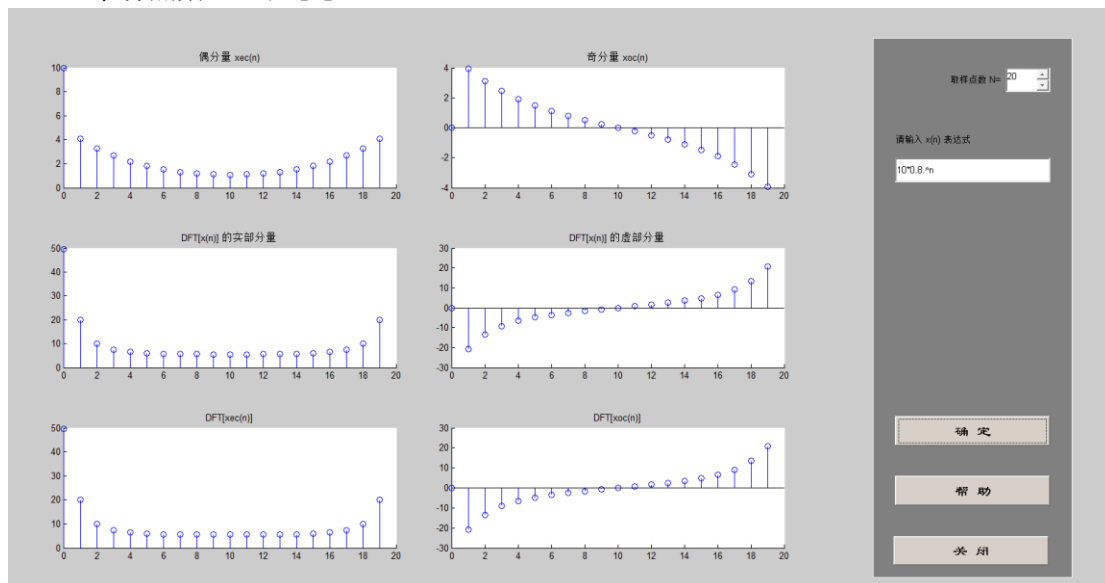
即有限长序列 $x(n)$ 的长度。

2. 输入信号表达式

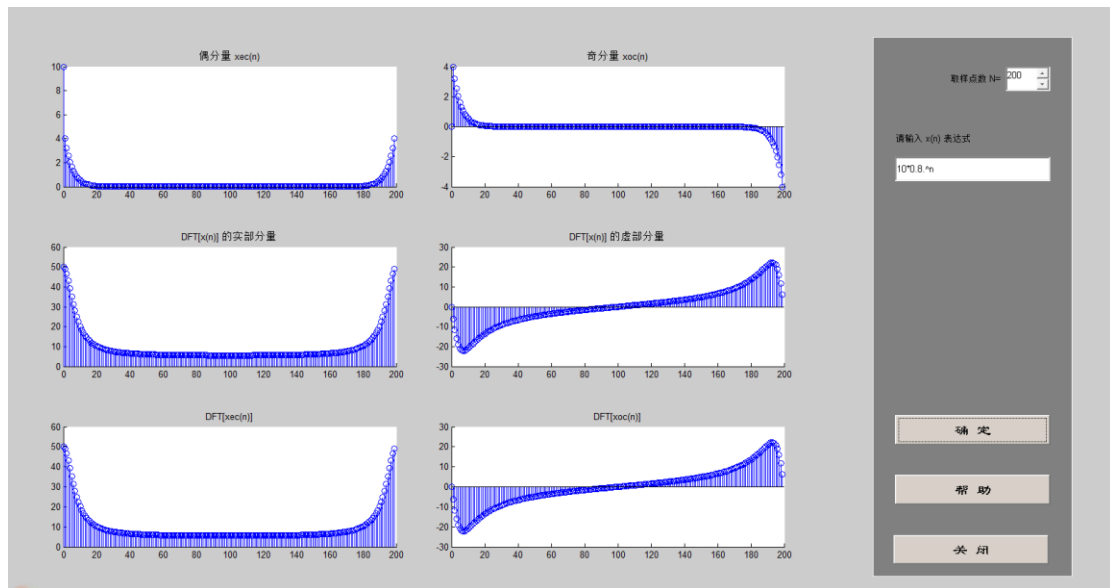
注意自变量为 n 。

二、实验内容:

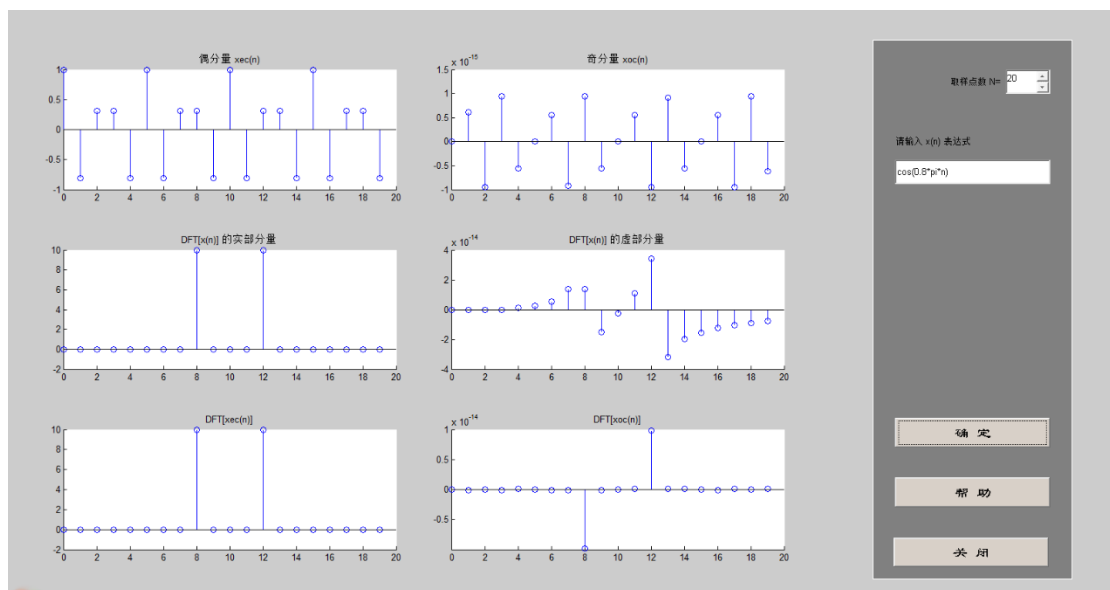
1. 取样点数 $N=20$, $x[n] = 10 \cdot 0.8.^n$



2. 取样点数 $N=200$, $x[n]=10 \cdot 0.8^n$



3. 取样点数 $N=20$, $x[n]=\cos(0.8\pi n)$



三、结果与分析

1 中选取取样点数 $N=20$, $x[n]=10 \cdot 0.8^n$, 2 中选取取样点数 $N=200$, $x[n]=10 \cdot 0.8^n$, 3 中选取取样点数 $N=20$, $x[n]=\cos(0.8\pi n)$, 通过呈现各自信号的奇分量、偶分量及各自傅里叶变换波形, 展现了傅里叶变换的奇偶虚实性质。

10-1 实验十 快速 Fourier 变换(FFT 及其应用)——FFT 的实现

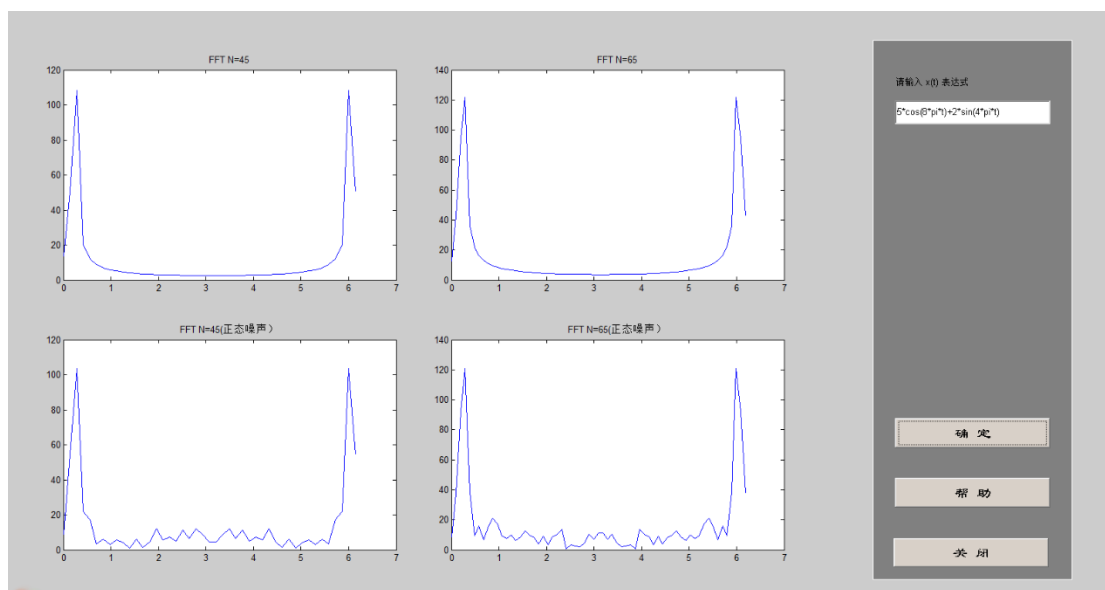
一、实验步骤:

1. 输入信号表达式

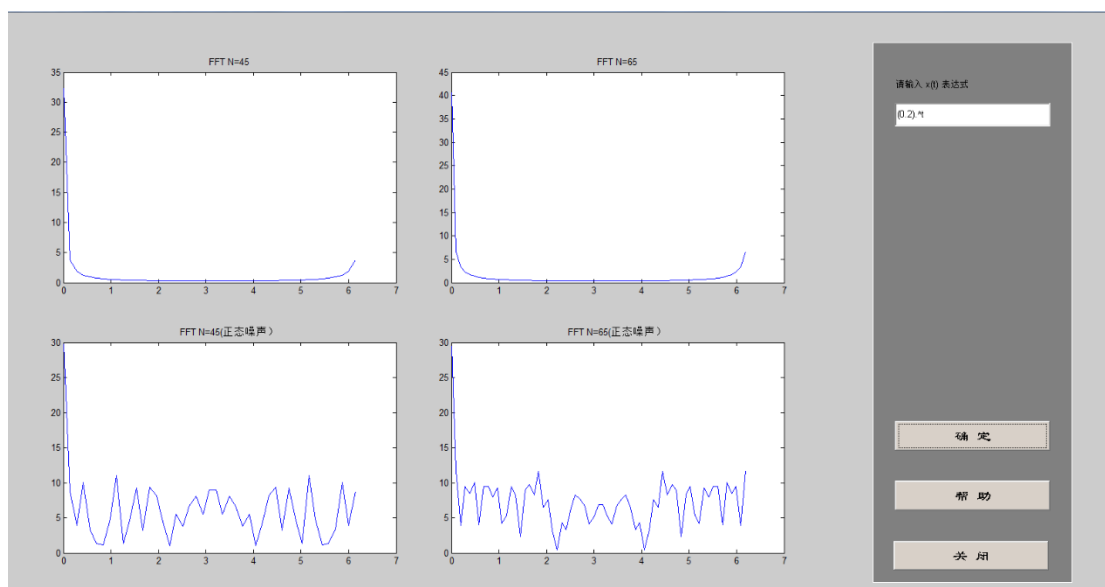
注意自变量为 t 。

二、实验内容:

1. $x(t) = 5 \cdot \cos(8\pi t) + 2 \cdot \sin(4\pi t)$



2. $x(t) = 0.2 \cdot t$



三、结果与分析

1 中选取 $x(t) = 5 \cos(8\pi t) + 2 \sin(4\pi t)$ ，2 中选取 $x(t) = 0.2 \cdot t$ ，分别进行快速傅里叶变换并展示其波形。可以观察到，1 中对于周期信号其呈现出波形并不是离散的，这主要是因为取样点 N 过少，当 N 从 45 变为 65 时，波形有较小改善。同时可看到 FFT 算法受噪声影响较为明显，稳定性不如一般傅里叶变换。

10-2 实验十 快速 Fourier 变换(FFT 及其应用)——应用 FFT 计算线性卷积

一、实验步骤：

1. 输入有限长序列 $x(n)$

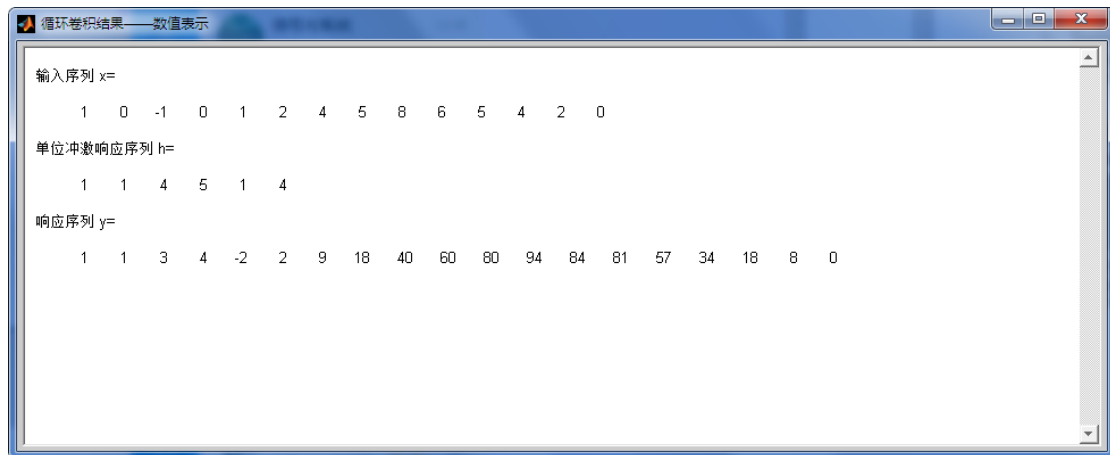
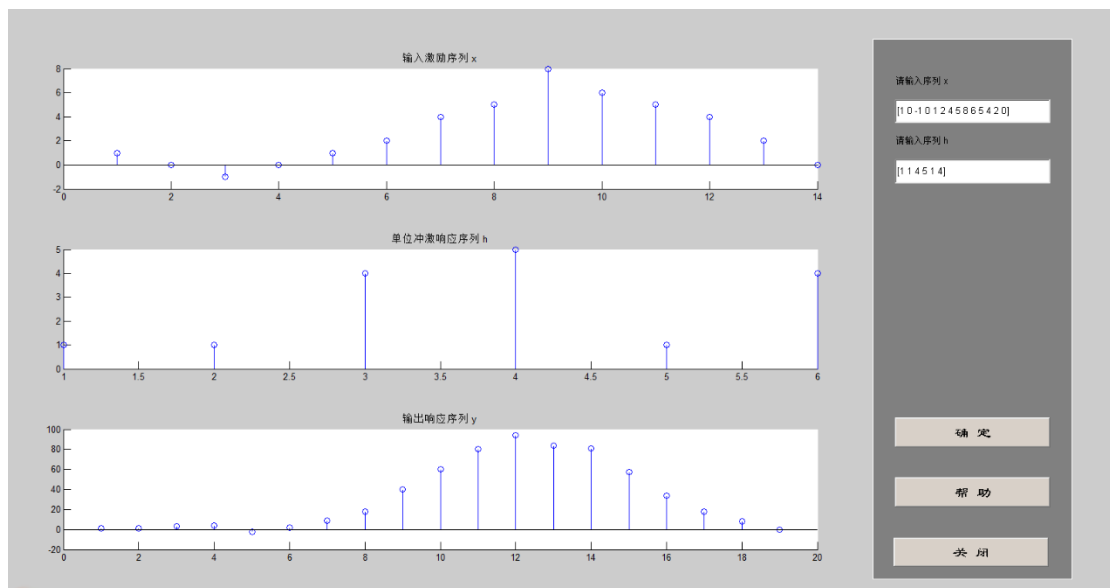
注意以空格分隔输入的数值。

2. 输入有限长序列 $h(n)$

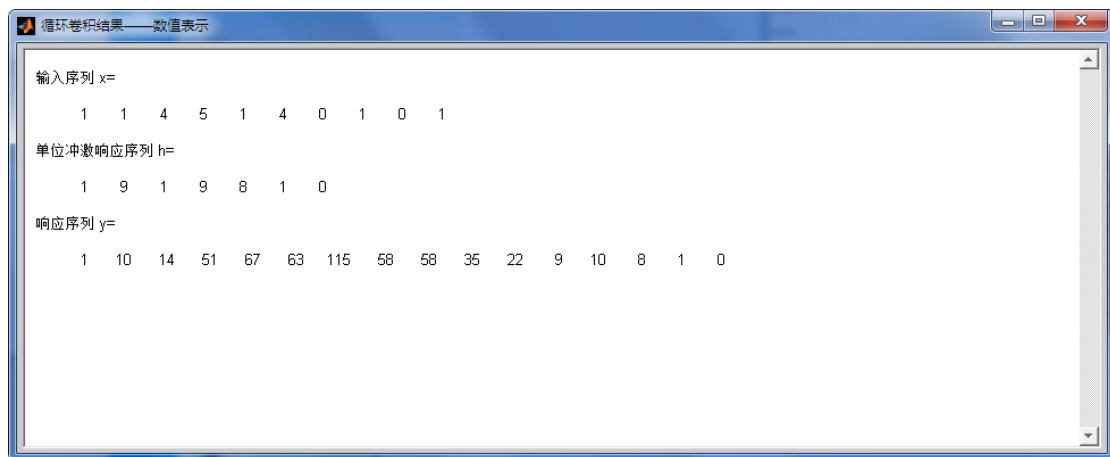
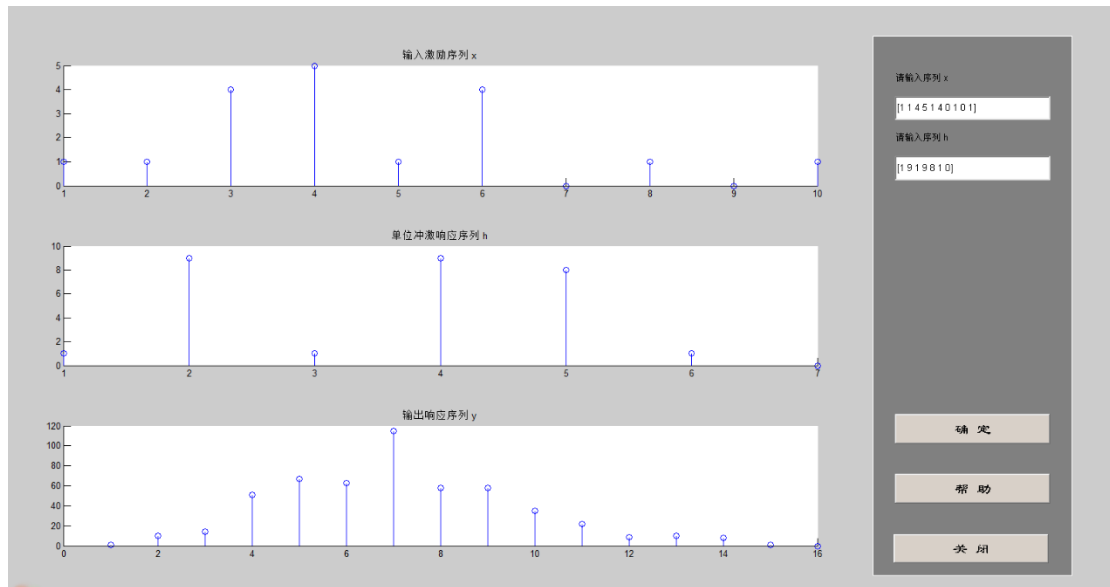
注意以空格分隔输入的数值。

二、实验内容：

1. $x[n]=[1\ 0\ -1\ 0\ 1\ 2\ 4\ 5\ 8\ 6\ 5\ 4\ 2\ 0]$, $h[n]=[1\ 1\ 4\ 5\ 1\ 4]$



2. $x[n]=[1\ 0\ 1\ 4\ 5\ 1\ 4\ 0\ 1\ 0\ 1]$, $h[n]=[1\ 9\ 1\ 9\ 8\ 1\ 0]$



三、结果与分析

1 中选取 $x[n]=[1 \ 0 \ -1 \ 0 \ 1 \ 2 \ 4 \ 5 \ 8 \ 6 \ 5 \ 4 \ 2 \ 0]$, $h[n]=[1 \ 1 \ 4 \ 5 \ 1 \ 4]$, 2 中选取 $x[n]=[1 \ 0 \ 1 \ 4 \ 5 \ 1 \ 4 \ 0 \ 1 \ 0 \ 1]$, $h[n]=[1 \ 9 \ 1 \ 9 \ 8 \ 1 \ 0]$, 通过 FFT 算法结合补零操作快速卷积得到输出 $y[n]$ 。